请输入关键字

检索

首页 | 概况简介 | 机构设置 | 研究队伍 | 科研成果 | 实验观测 | 合作交流 | 研究生教育 | 学会学报 | 图书馆 | 党群工作 | 创新文化 | 科学传播 | 信息公开

新闻动态
器片新闻
以条新闻
增加公告
学术活动
综合新闻
科研动态
研究亮点

您现在的位置: 首页 > 新闻动态 > 学术前沿

NC: 太古宙早期洋壳俯冲的钙同位素证据

2022-02-16 | 【大中小】【打印】【关闭】

陆壳形成时间和机制一直是地学界备受关注的关键科学问题,对于理解板块构造历史、大气和海洋化学演化以及生命演化等科学问题具有重要意义。TTG代表了太古宙陆壳的主要物质组成,但对于TTG是通过俯冲洋壳或加厚下地壳熔融还是通过中一下地壳玄武质岩浆的广泛分离结晶形成的,学术界仍存在争议。最近有研究通过重硅同位素特征提出,TTG源区需要有表壳物质的加入,并倾向于太古宙的水平构造模式。但现存问题是,通常用来推断TTG成因的微量元素比值,并不能得到很确切的结论。因此,对于表壳物质(如燧石)是否通过俯冲或其它过程进入了TTG源区仍值得质疑。

针对上述问题,来自巴黎大学的Michael A. Antonelli博士及其合作者提出通过稳定钙同位素来制约TTG岩浆形成的表面地热梯度,继而对古老陆壳形成的构造环境进行判断。相关成果发表于Nature Communications上(Antonelli et al., 2021)。

作者对已经有其它同位素数据(Si,Hf,和 Nd)的现代埃达克岩、太古宙的TTG和拉斑质花岗岩类样品进行了钙同位素分析。首先,为了更好地说明温度和压力升高带来的相反同位素分馏效应,以及在逐步熔融过程中TTG源岩中矿物比例和成分的变化,他们将平衡钙同位素分馏和相平衡模拟研究相结合。研究结果显示, δ^{44} Ca总体变化趋势受温度和压力之间的对抗制约,即温度升高,同位素分馏降低;压力增加,同位素分馏因残留的石榴石增加而增加(图1a)。另外,他们发现,多数TTG和现代埃达克岩都可以被500-750 \mathbb{C} /GPa的地热梯度轨迹所解释(图1b)。这个地热梯度范围和现代热俯冲的地热梯度类似,但比直接使镁铁质地壳熔融需要的温度高。

尔后,作者利用湿玄武岩固相线作为温度下限进行计算(图1c),得到的结果与以前对TTG成因的预测一致(Palin et al., 2016),同时也与估计的现代埃达克岩的P-T结果一致,而现代埃达克岩通常形成于热/年轻洋壳的俯冲环境。相比之下,加厚下地壳底部熔融发生于更高的地热梯度下(>700° C/GPa)。因此,利用钙同位素数据并结合最近的地球物理模型,作者认为太古宙TTG很可能形成于热俯冲环境(图2)。

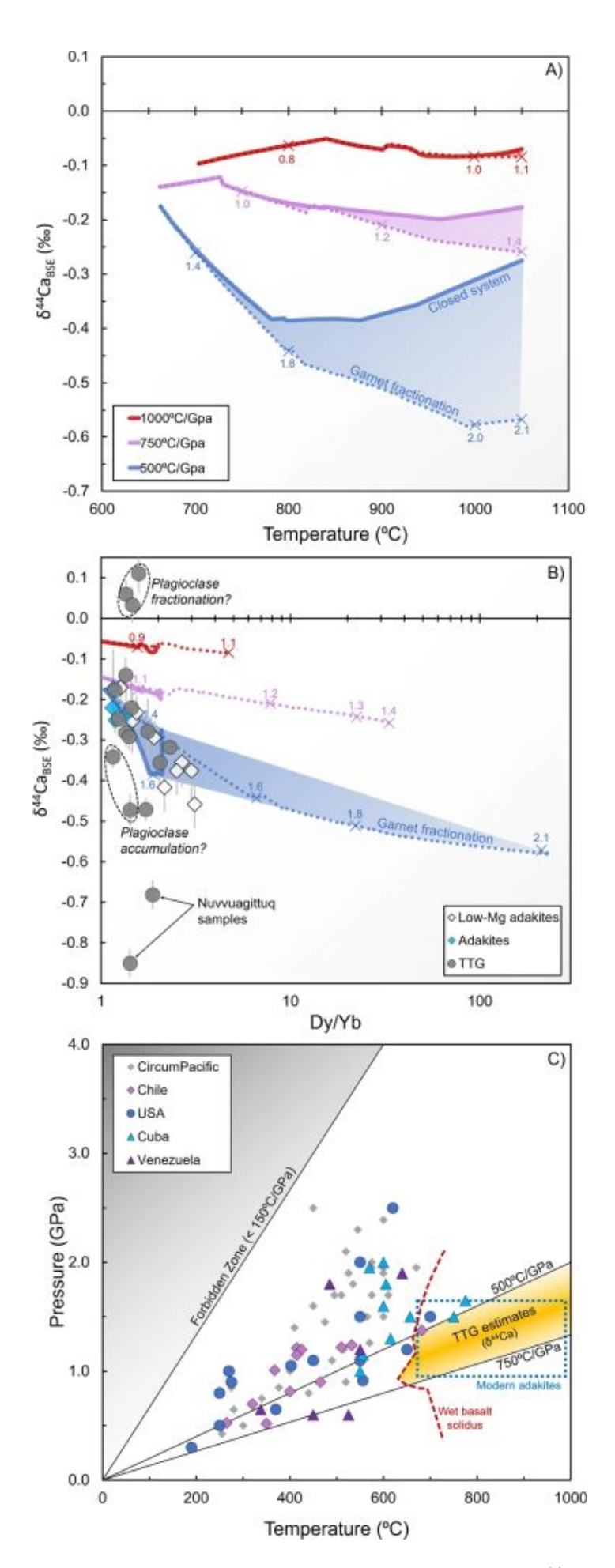


图1 对亏损的太古宙拉斑玄武岩(DAT)进行的相平衡模拟结果以及与 δ^{44} Ca测量值和现代俯冲带 P-T估计值之间的比较 (Antonelli et al., 2021)。(A)地热梯度对 δ^{44} Ca的影响;(B) δ^{44} Ca vs. Dy/Yb模拟结果和数据(彩色数字代表压力,GPa);(C)现代热俯冲带组合(榴辉岩 和蓝片岩(Penniston-Dorland et al., 2015)),现代埃达克岩(Hastie et al., 2016)以及 太古宙TTG样品的P-T估计

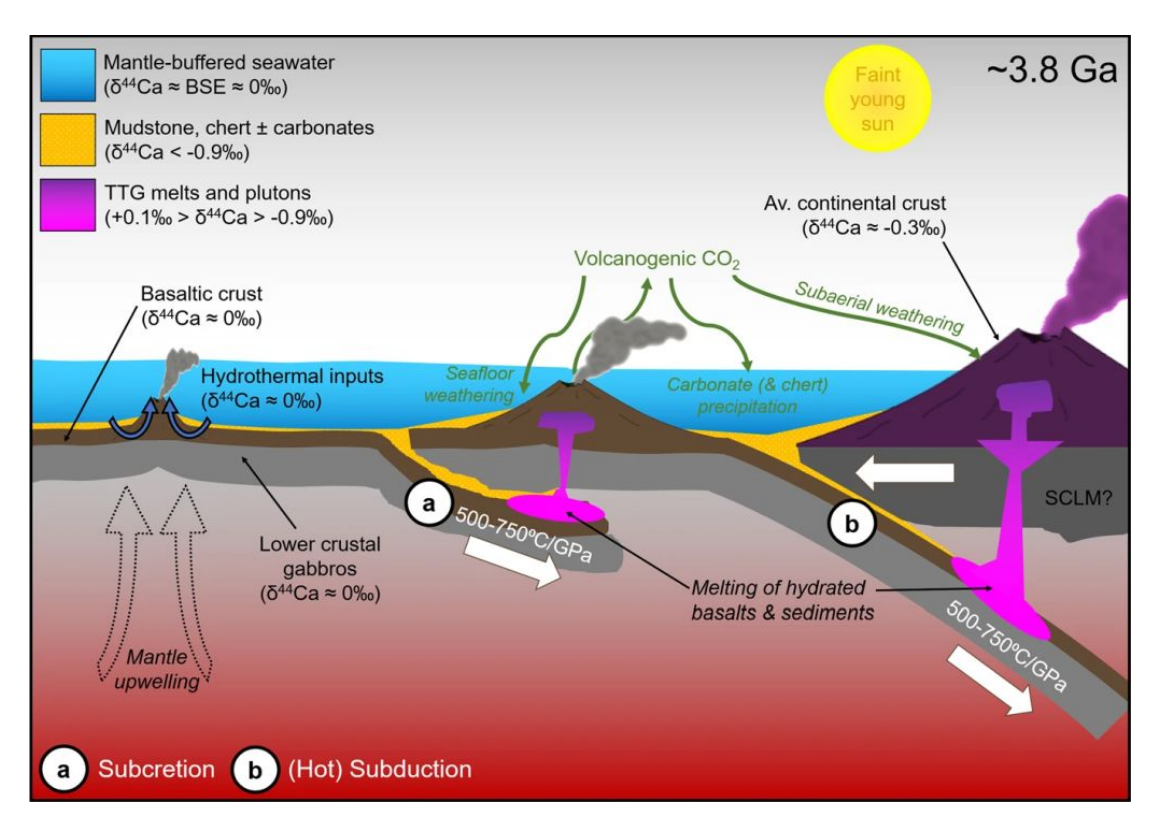


图2 由本文数据支持的动力学模型 (Antonelli et al., 2021)

此外,作者发现,在他们500 \mathbb{C} / GPa这一模型预测之下,有两个花岗岩类样品有异常低的 δ ⁴⁴Ca,这无法用平衡岩浆过程来解释,而很可能是由碳酸盐沉积物所致(图2)。因此,本文数据为始太古代早期洋底存在碳酸盐沉积物提供了独立证据,将保存的最老的碳酸盐单元时间提前了。这暗示了硅酸盐-碳酸盐循环在3.8 Ga之前就已经存在,并为大量的火山 \mathbb{C} 02 脱气作用提供了储蓄地。以上结果对大陆的出现/风化随时间的演化具有重要启示意义。

最后,作者指出,虽然本文数据不一定证明板块边界彼此连接的全球格架(有些板块构造是如此定义的)的存在,但他们证明了俯冲事件在太古宙重复出现,与越来越多的证据指示的板块构造于3.5 Ga之前启动的结论(Arndt, 2013; Keller et al., 2020; Ptácek et al., 2020)一致。

致谢:感谢岩石圈室前寒武纪课题组各位同事的宝贵修改建议。

主要参考文献

Antonelli M A, Kendrick J, Yakymchuk C, et al. Calcium isotope evidence for early Archaean carbonates and subduction of oceanic crust[J]. Nature Communications, 2021, 12: 2534. (原文链接)

Arndt N T. Formation and evolution of the continental crust, Geochem[J]. Perspectives, 2013, 2: 405-533.

Hastie A R, Fitton J G, Bromiley G D, et al. The origin of Earth's first continents and the onset of plate tectonics[J]. Geology, 2016, 44(10): 855-858.

Keller C B, Harrison T M. Constraining crustal silica on ancient Earth[J]. Proceedings of the National Academy of Sciences, 2020, 117(35): 21101-21107.

Palin R M, White R W, Green E C R. Partial melting of metabasic rocks and the generation of tonalitic-trondhjemitic-granodioritic (TTG) crust in the Archaean: Constraints from phase equilibrium modelling[J]. Precambrian Research, 2016, 287: 73-90.

Penniston-Dorland S C, Kohn M J, Manning C E. The global range of subduction zone thermal structures from exhumed blueschists and eclogites: Rocks are hotter than models[J]. Earth and Planetary Science Letters, 2015, 428: 243-254.

Ptácek M P, Dauphas N, Greber N D. Chemical evolution of the continental crust from a data-driven inversion of terrigenous sediment compositions[J]. Earth and Planetary Science Letters, 2020, 539: 116090.

(撰稿: 单厚香/中国地震局地质研究所, 周艳艳/岩石圈室)



